

交通流の安定性について

信州大学工学部 正員 奥谷 巖  
 信州大学工学部 〇学生員 永春彰信

1. はじめに

本研究は、高次交通流モデルを基礎にポテンシャルの構造を導出し、カタストロフィーの概念の導入により、交通流の安定性の側面について基礎的観点から分析を行う。

2. 高次交通流モデルとポテンシャルの展開

まず最初に、Ilya PrigogineとRobert Hermanによる速度分布の変化を規定する運動方程式

$$\frac{df}{dt} = \frac{\partial f}{\partial t} + u \frac{\partial f}{\partial x} = \left(\frac{\partial f}{\partial t}\right)_{rel} + \left(\frac{\partial f}{\partial t}\right)_{int} \quad (1)$$

を用い、フィリップスの実験式への適用を考案する。

(1)式において、 $f$ はある時間 $t$ において、ある距離 $x$ から $x+dx$ 間における速度 $u$ をわつ速度分布関数とし、 $f(x, u, t)$ と定義する。

また右辺の項 $\left(\frac{\partial f}{\partial t}\right)_{rel}$ は、希望速度に近づこうとする項であり、 $\left(\frac{\partial f}{\partial t}\right)_{int}$ は、追い越し又は追従に伴う速度変化の項である。

(1)式はさらに

$$\frac{df}{dt} = \frac{\partial f}{\partial t} + u \frac{\partial f}{\partial x} = -\frac{f-f_0}{T} + (1-P)\rho(\bar{u}-u)f \quad (2)$$

と表わせる。なおここで、 $f_0$ : 希望速度分布関数  
 $T$ : 緩和時間,  $P$ : 追越確率,  $\rho$ : 交通密度  
 $u$ : 速度,  $\bar{u}$ : 空間平均速度と定義する。

上式(2)に速度 $u$ をわけて積分すると、

$$a = \int u \frac{df}{dt} du = \frac{d}{dt} \int u f du = \frac{d(\rho \bar{u})}{dt} = \rho \frac{d\bar{u}}{dt}$$

$$b = -\frac{1}{T} \left\{ \int u f du + \int u f_0 du \right\} + \rho(1-P) \int u(\bar{u}-u) f du$$

$$= -\frac{1}{T} \left\{ \rho \bar{u} - \rho \bar{u}_0 \right\} + \bar{u} \rho^2 (1-P) \bar{u} - \rho^2 (1-P) \bar{u}^2$$

となり、従って

$$\frac{d\bar{u}}{dt} = -\frac{\bar{u}-\bar{u}_0}{T} + \rho(1-P)[(\bar{u})^2 - \bar{u}^2] \quad (3)$$

なお、 $\bar{u}$ : 希望速度と定義する。

(3)式は、時間 $t$ に対して定常性を仮すため

$$\bar{u} = \bar{u}_0 + T(1-P)\rho[(\bar{u})^2 - \bar{u}_0^2] \quad (4)$$

となる。ここで、フィリップスが与えている均衡状態における $\rho[(\bar{u})^2 - \bar{u}_0^2]$ を定める実験式

$$\rho(\bar{u}) = \frac{\rho \bar{u}_0^2 (\sigma_0^2 + 1.5 \bar{u}_0^2 \zeta^3)}{\bar{u}_0^2 (1 + 1.8 \zeta^3)} \quad (5)$$

を(4)に代入する。なお、 $\sigma_0$ : 希望速度の標準偏差

と定義し、さらに  
 $T = \frac{\zeta(1-P)}{\rho}$  ( $\beta \zeta = 0.328 \text{ sec/m}$ ),  $P = 1 - \frac{\rho}{\beta} = 1 - \gamma$  ( $\frac{\rho}{\beta} = \gamma$ ) で置換して整理すると

$$\bar{u}(\bar{u}_0^2(1-\gamma)\{(1-\gamma)^2 + 1.8\gamma^2\} - (\bar{u}_0^2(1-\gamma)\{(1-\gamma)^2 + 1.8\gamma^2\} + \zeta \beta (\bar{u}_0^2 \gamma^2 \{\sigma_0^2(1-\gamma)^2 + 0.15(\bar{u}_0^2 \gamma^2)\}) = 0 \quad (6)$$

さらに流量の定義より、 $\beta = \rho \bar{u}$  を与式に代入し $\gamma$ の4次以上の項を無視すると

$$\beta(\bar{u}_0^2 - \{4\beta(\bar{u}_0^2 + (\bar{u}_0^2)\beta\}\gamma + \{6\beta(\bar{u}_0^2 + 4(\bar{u}_0^2)\beta + \zeta \beta^2 \sigma_0^2)\}\gamma^2 - \{2.2\beta(\bar{u}_0^2) + 6(\bar{u}_0^2)\beta + 3\zeta \beta^2 \sigma_0^2\}\gamma^3) = 0 \quad (7)$$

上式(7)の01項から04項を $\alpha_0 \sim \alpha_3$ とおきかえ

$$\alpha_0 + \alpha_1 \gamma + \alpha_2 \gamma^2 + \alpha_3 \gamma^3 = 0 \quad (8)$$

とし、さらに

$$\gamma = \left(\frac{1}{\alpha_3}\right)^{\frac{1}{3}} X - \frac{\alpha_2}{3\alpha_3} \quad (9)$$

とおき、 $\alpha_0 \sim \alpha_3$ と $X$ との関係式をつくると

$$X^3 + WX + V = 0 \quad (10)$$

$$W = \left\{ \alpha_0 - \frac{\alpha_1 \alpha_2}{3\alpha_3} + \frac{2\alpha_2^2}{27\alpha_3^2} \right\}, \quad (11)$$

$$V = \left\{ \alpha_1 \left(\frac{1}{\alpha_3}\right)^{\frac{1}{3}} - \frac{1}{3} \frac{\alpha_2^2}{\alpha_3} \left(\frac{1}{\alpha_3}\right)^{\frac{1}{3}} \right\} \quad (12)$$

(10)式は、仮想的なポテンシャル $F$ と

$$F = \frac{X^4}{4} + \frac{W}{2} X^2 + VX \quad (13)$$

としたとき、その極値を与える形となる。

これは、Rene Thomが示した初等カタストロフィーと呼ばれる7つの基本的形態のうちの一つ(CUSP)に対応するものである。

又、式(5)のかわりに、フィリップスが導いた平衡状態における平均速度の実験式を用い、先に述べた(7)式と同様に計算過程をへることにし

$$\beta \bar{u}_0^2 - (7\beta \bar{u}_0^2 + \bar{u}_0^2 \beta) \gamma + (21\beta \bar{u}_0^2 + 7\bar{u}_0^2 \beta) \gamma^2$$

$-(358u_1^7 + 21u_0u_1^6 - 9.08(u_0^2u_1^5))y^2 = 0$  (14) となり、カタストロフィーの概念を議論するこ  
 ができる。なお、 $\mu$  = 二車間の追い越し速度定数。  
 3. カタストロフィー理論による安定性につ  
 いての定理のポテンシャルFによるカタスト  
 ロフィー写像

$x_F: M_F \rightarrow R^K$  (Kはコントロール変数の数)

において、先述述べた、W, VがポテンシャルF  
 のコントロール変数にあたり、xとの関係は下図  
 に示す通りである。

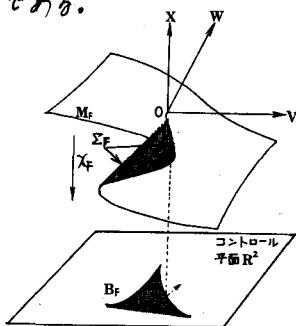


図1-1

図(1-1)で  $\varphi: R^2 \rightarrow M_F$  は  $R^2$  より  $M_F$  へのディフェ  
 オモルフィズムであり、 $R^2$  と  $M_F$  は互いにディフェ  
 オモルフィックである。すなわち、 $M_F$  は  $R^2$  へ滑ら  
 がに変形したものであり、 $R^2$  と  $M_F$  は微分トポ  
 ロジーでは同じ図形である

さてここで、 $M_F$  上の平衡点  $(W, V, X)$  は、ポテンシ  
 ャル  $F(W, V, X)$  の極小値を与えるとき安定平衡と  
 なり、 $(W, V, X) \in M_F$  が安定平衡点となる条件は

$$\frac{\partial^2 F}{\partial x^2}(W, V, X) > 0 \quad (15)$$

であり、安定平衡点の集合  $G_F$  を安定平衡空間と呼  
 ぶ。いま、 $G_F$  の集合  $\Sigma_F$  を着目してみると  $\Sigma_F$  は、図に  
 示したように  $M_F$  の折り目の線となる。又、 $W=V$   
 $=X=0$ 、この原点  $O=(0,0,0)$  は  $M_F$  のくさびの  
 点という。

この  $M_F$  上の折り目の線上の点  $P$  における  $x_F$  のヤコ  
 ビアンが0となる点を特異点といい、これはすな  
 わち、 $M_F$  の折り目の線  $\Sigma_F$  が、カタストロフィー写  
 像  $x_F$  の特異点の集合となるのである。

さらに  $R^2$  の点  $p$  は、その逆像  $x_F^{-1}(p)$  に少くとも一  
 つの特異点があるとき  $x_F$  の特異値といい、この  $x_F$   
 の特異値の集合を  $B_F \subset R^2$  とし、カタストロフィー  
 写像  $x_F$  の分岐集合とい

$$B_F = \{(W, V) | 4W^3 + 27V^2 = 0\} \subset R^2$$

となる。

この分岐集合  $B_F$  を、コントロール平面  $R^2$  に描き、そ  
 の線上や内外にコントロールの点があるときのポ  
 テンシャルFの極形を描き、その点での極小値、  
 つまり安定平衡点を求める。

カタストロフィーは、この安定平衡点の消滅や発  
 生によって起こるので、これらの個数が変化する  
 境界線である分岐集合は、カタストロフィー発生  
 の数値という概念は役に立たない。

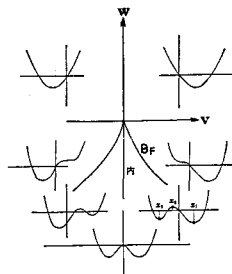


図1-2

以上の理論を用いて、式(7)と式(15)において、コ  
 ントロール変数を  $(\rho, u)$  におき、その分岐集合を  
 求め、カタストロフィーが起きるときの交通密度  
 $\rho$  を求める

従来、交通容量に対応する交通密度近辺の交通状  
 態は、非常に不安定であるといわれており、ほ  
 るより詳しい原因は、非渋滞領域から渋滞領  
 域へと急激に変化することによって指摘されて  
 いるが、こうした現象を本研究所で示したカタ  
 ストロフィーの概念の導入により理論的に解  
 明できる可能性がある。

なお、結果については当日発表する。

参考文献) kinetic Theory of Vehicular Traffic, by Ilya Prigogine  
 and Robert Herman. カタストロフィー, by 野口弘。